Eingabe: Farbmetrisches Drucker-Reflektiv-System FRS06

mit *rgb*−Daten der
vier Elementarbunttöne
1 0 0 = Rot *R*
1 1 0 = Gelb *J*
0 1 0 = Grün *G*
0 0 1 = Blau *B*

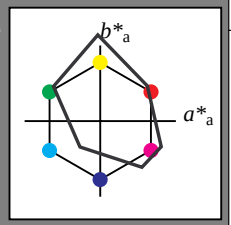

FRS06; adaptierte CIELAB-Daten

	$L^*=L^*_a$	a^*_a	b^*_a	$C^*_{ab,a}$	$h^*_{ab,a}$
O_{Ma}	32.57	62.32	46.49	77.75	37
Y_{Ma}	82.73	−3.16	113.99	114.03	92
L_{Ma}	39.43	−61.79	45.84	76.95	143
C_{Ma}	47.86	−26.79	−34.24	43.49	232
V_{Ma}	10.16	55.12	−61.03	82.24	312
M_{Ma}	34.5	80.68	−33.92	87.52	337
N_{Ma}	6.25	0.0	0.0	0.0	0
W_{Ma}	91.97	0.0	0.0	0.0	0
R_{CIE}	39.92	59.8	31.05	67.38	27
J_{CIE}	81.26	−2.52	76.25	76.29	92
G_{CIE}	52.23	−41.56	17.14	44.96	158
B_{CIE}	30.57	2.63	−43.77	43.86	273

Ausgabe: Farbmetrisches Drucker-Reflektiv-System FRS06

mit Bunttonnummer
n= 00 bis 19
00 = Rot *R*
05 = Gelb *J*
10 = Grün *G*
15 = Blau *B*

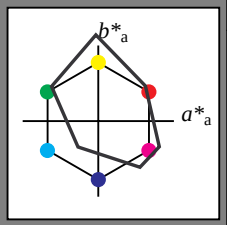

FRS06; adaptierte CIELAB-Daten

	$L^*=L^*_a$	a^*_a	b^*_a	$C^*_{ab,a}$	$h^*_{ab,a}$
O_{Ma}	32.57	62.32	46.49	77.75	37
Y_{Ma}	82.73	−3.16	113.99	114.03	92
L_{Ma}	39.43	−61.79	45.84	76.95	143
C_{Ma}	47.86	−26.79	−34.24	43.49	232
V_{Ma}	10.16	55.12	−61.03	82.24	312
M_{Ma}	34.5	80.68	−33.92	87.52	337
N_{Ma}	6.25	0.0	0.0	0.0	0
W_{Ma}	91.97	0.0	0.0	0.0	0
R_{CIE}	39.92	59.8	31.05	67.38	27
J_{CIE}	81.26	−2.52	76.25	76.29	92
G_{CIE}	52.23	−41.56	17.14	44.96	158
B_{CIE}	30.57	2.63	−43.77	43.86	273

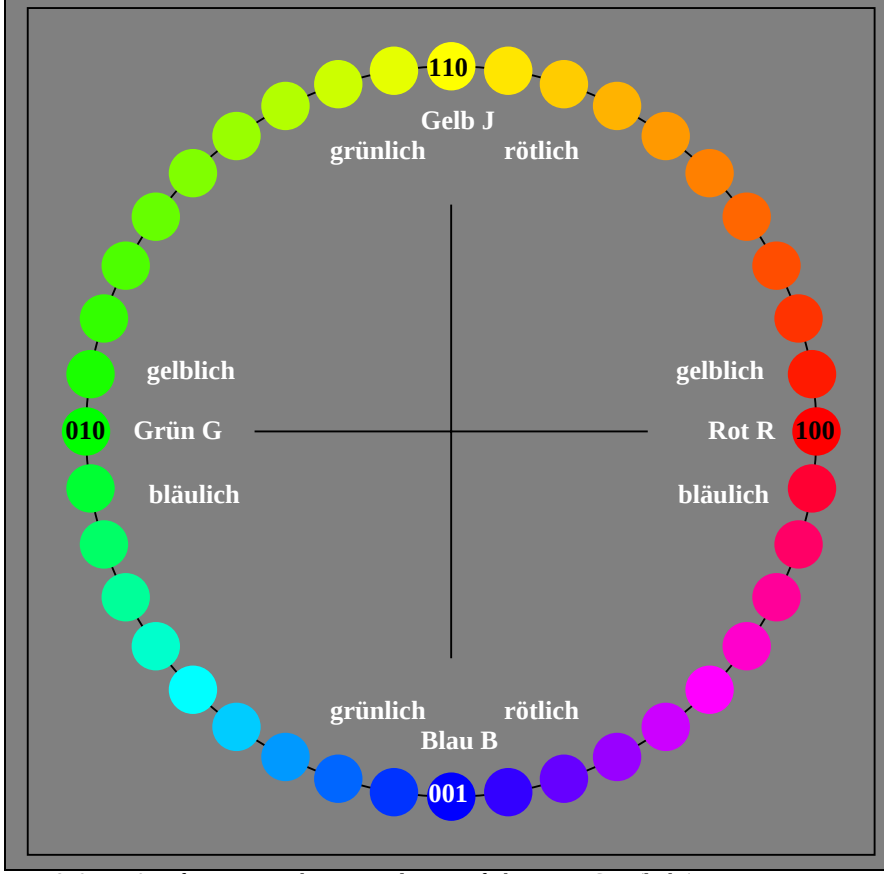

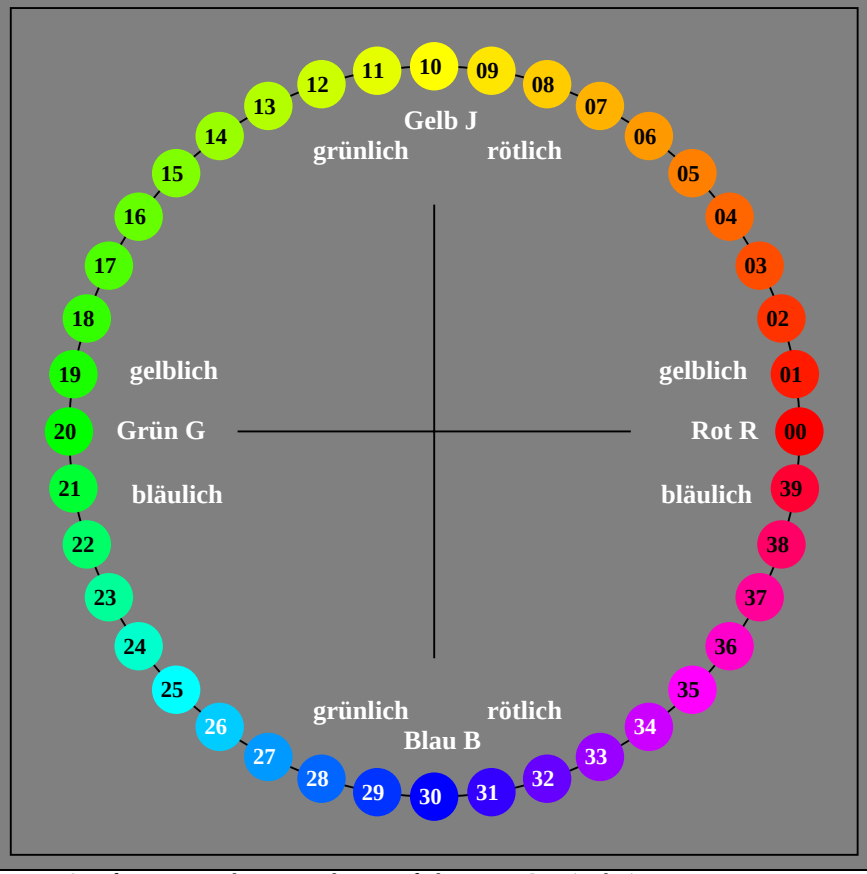

XE850−7, 20 stufiger Bunttonkreis mit Elementarfarben *R, J, G, B* (links)

20 stufiger Bunttonkreis mit Elementarfarben *R, J, G, B* (rechts)